何首乌活性成分在肝 L-02 细胞中吸收及代谢产物的 LC-MS/MS 定性分析

林佩¹ ,陆建美¹ ,张光远¹ ,李云飞¹ ,耿长安² ,陈纪军² ,俞捷^{1*} ,赵荣华¹(1. 云南中医学院药学院 ,昆明 650500; 2. 中国科学 院昆明植物研究所 植物化学与西部植物资源持续利用国家重点实验室 ,昆明 650500)

摘要: 目的 研究何首乌主要活性成分在肝 L-02 细胞中的吸收和代谢。方法 将何首乌主要活性成分二苯乙烯苷(TSG)、大黄素(EN) 作用于正常人肝 L-02 细胞 给药 0.2.4.6.8.12.24.36.48 h 后 分别取上层培养液及细胞裂解液 利用 HPLC 探究二者的吸收、蓄积及代谢规律 并用 LC-MS 法进行代谢产物的定性分析。结果 TSG 在肝 L-02 细胞中无明显蓄积 ,HPLC 检测出 TSG 和一个代谢产物吸收峰 .且在 8 h 后浓度随给药时间延长呈递增趋势 .经 LC-MS/MS 鉴定为二苯乙烯苷葡萄糖醛酸结合物; EN 在肝 L-02 细胞中有部分蓄积 细胞呈黄色 检测出 4 个 EN 的代谢产物吸收峰 .浓度随时间的延长而增加 .经 LC-MS/MS 鉴定为大黄素葡萄糖醛酸的 3 个同分异构体及大黄素硫酸结合物。结论 大黄素较二苯乙烯苷更易被 L-02 细胞收 收 在 L-02 细胞中二者的 I 相代谢产物均未被检测到 I 仅检测到二者的 I 相代谢产物。

关键词: 二苯乙烯苷; 大黄素; 吸收; 代谢; 高效液相色谱质谱联用方法

doi: 10. 11669/cpj. 2015. 12. 013 中图分类号: R917 文献标志码: A 文章编号: 1001 - 2494(2015) 12 - 1048 - 06

Study on Absorption and Metabolism of Active Compounds of Polygoni Multiflori Radix in Hepatic L-02 Cells by Liquid Chromatography Tandem-Mass Spectrometry

LIN Pei¹, LU Jian-mei¹, ZHANG Guang-yuan¹, LI Yun-fei¹, GENG Chang-an², CHEN Ji-jun², YU Jie^{1*}, ZHAO Rong-hua¹(1. Yunnan University of Traditional Chinese Medicine, Kunming 650500, China; 2. Kunming Institute of Botany, Chinese Academy of Sciences, Kunming 650500, China)

ABSTRACT: OBJECTIVE To study the absorption and metabolism of active compounds of Polygoni Multiflori Radix in L-02 cells and elucidate their chemical structures by liquid chromatography tandem-mass spectrometry. METHODS The active compounds in Polygoni Multiflori Radix , 2 β β β -tetrahydroxystilbene-2-O-β-D-glucoside (TSG) and emodin (EN) , were cultured into L-02 cells. Cell culture media and cell lysis were collected after 0 , 2 , 4 , 6 , 8 , 12 , 24 , 36 and 48 h respectively. Reversed-phase high-performance liquid chromatography (HPLC) was used to explore the possible absorption and metabolism. Liquid chromatography-tandem-mass spectrometry (LC-MS/MS) was used to identify the chemical structures of the metabolic products. RESULTS TSG showed no obvious accumulation in L-02 cells. One metabolic product of TSG was detected by HPLC , and its concentration increased with time after 8 h. This metabolite was identified as the glucuronidation of TSG by LC-MS/MS. In contrast , EN was partially accumulated in L-02 cells. Three isomers of glucuronidations and one sulfation of EN were also identified by LC-MS/MS. CONCLUSION EN is easier to be absorbed and accumulated in L-02 cells than TSG. Phase II metabolic reactions play an important role in the metabolism of TSG and EN in cells. However , the accurate binding sites need to be further confirmed.

KEY WORDS: stilbene glucoside; emodin; absorption; metabolism; LC-MS/MS

何首乌为蓼科植物何首乌(Polygonum multiflo-rum Thunb.)的干燥块根,具有降血脂、延缓动脉粥样硬化、抗衰老、提高免疫力、益智等作用,能显著降低血清总胆固醇和甘油三酯,临床常用于治疗高脂血症[1]。何首乌的主要化学成分为二苯乙烯苷类、

蒽醌类、卵磷脂类等^[2]。现代研究表明,二苯乙烯苷类为何首乌主要活性成分,其中以2,3,5,4²-四羟基二苯乙烯-2-0-β-D-葡萄糖苷(二苯乙烯苷,TSG)含量最高,是何首乌质量控制的指标性成分^[3-4]。蒽醌类成分大黄素(EN)也被证实能够较好

基金项目: 国家自然科学基金资助项目(81260553; 81460623); 云南省应用基础研究重点项目(2014FA035); 云南省应用基础研究面上项目(2012FD043)

作者简介: 林佩 ,女 .硕士研究生 研究方向: 天然产物结构修饰及活性研究 * 通讯作者: 俞捷 ,女 副教授 .硕士生导师 研究方向: 药物分析与药理学 Tel: (0871) 65918055 E-mail: cz. yujie@ gmail. com

• 1048 • Chin Pharm J 2015 June Vol. 50 No. 12

中国药学杂志 2015 年 6 月第 50 卷第 12 期

的抑制胆固醇、甘油三酯合成限速酶的活性,升高高密度脂蛋白的含量,进而发挥降脂活性^[5]。然而众多蒽醌类成分的毒性研究也提示^[6],蒽醌类成分会使细胞变小,危害细胞膜的完整性,也有可能造成线粒体膜的消失;蒽醌类成分的三环共平面结构,具有DNA 嵌入剂的基本结构特征,可使 DNA 自身双螺旋结构发生解旋或拉长,使 DNA 转录和复制受到阻碍或抑制,是产生致突变性和基因毒性的原因。

课题组前期利用 Caco-2 细胞模型 模拟人肠道上皮对何首乌主要化学成分体外吸收情况中发现 「二苯乙烯苷与大黄素表观渗透系数均较小,表明二者的吸收性欠佳。与此同时 在 Caco-2 细胞裂解液中检测到了 TSG 和 EN 的代谢产物 ,推测 TSG 和 EN 及其代谢产物可能都具有一定的药理作用。因此提出利用检测药物在肝细胞内的蓄积及代谢情况,探究二苯乙烯苷和大黄素可能的代谢方式,及原型化合物与代谢产物之间的时一效关系,更清楚地了解该类化合物发挥药效的物质基础,有利于二苯乙烯苷、大黄素等化合物的药用开发。

肝脏作为体内脂、糖代谢的主要器官,可在细胞水平上提供吸收、代谢、转运等综合信息,为药物安全性评价、临床合理用药等提供了重要、理想的体外模型^[8-9],也是评价药物成分对肝细胞功能影响的理想模型。故本实验用肝 L-02 细胞进行体外研究,设定给药后 0、2、4、6、8、12、24、36、48 h 共计 9 个取样时间点,探索二苯乙烯苷、大黄素两种成分在肝细胞内的吸收与代谢情况,为进一步探究二苯乙烯苷与大黄素的药理、毒理作用及其机制提供实验依据。

1 材料

1.1 细胞

正常人肝 L-02 细胞(昆明动物研究所)。

1.2 试剂

2 3 5 A´-四羟基二苯乙烯-2-O-β-D-葡萄糖苷 (TSG ,110844-201109 ,中国药品生物制品检定所 ,纯 度高于 98%)、大黄素(EN ,110756-200110 ,中国药品生物制品检定所 ,纯度高于 98% ,结构见图 1); RPMI 1640 培养基、磷酸盐缓冲液(PBS ,Gibco 公司);胎牛血清(FBS ,Hyclone 公司) ,二甲基亚砜 (DMSO 美国 Sigma 公司) ,细胞裂解液(1% Trition X-100(Solarbio 公司);乙腈、甲醇为色谱纯 ,甲酸为分析纯;去离子水由中国上海默克密理博公司的 MingChe[™]-D 24UV 系统产生。

中国药学杂志 2015 年 6 月第 50 卷第 12 期

图 1 2 3 5 A'-四羟基二苯乙烯 2-O- β -D-葡萄糖苷(TSG)、 大黄素(EN) 的化学结构

Fig. 1 The chemical structure of 2 β β A'-tetrahydroxystilbe-ne-2-O-β-D-glucoside (TSG) and emodin (EN)

1.3 仪器

超净工作台(SW-CJ-IFD型 苏州安泰空气技术有限公司); 荧光倒置相差显微镜(ECLIPSE TS 100,日本 Nikon公司); 二氧化碳培养箱(MCO-20AIC型,日本三洋科技有限公司); 高速台式冷冻离心机(TJL-20M,长沙湘仪离心机仪器有限公司); 十万分之一电子分析天平(AB 265-S,METTLER TOLE-DO公司); 高效液相色谱仪(1200 LC,美国 Agilent); ZOR-BAX SB-C18 色谱柱(4.6 mm×150 mm,5 μm 美国 Agilent); LC-MS-IT-TOF仪(日本岛津); C-18 色谱柱(2.1 mm×150 mm,1.8 μm,美国 Agilent)等。

2 方 法

2.1 细胞培养用药溶液配制

分别精密称取二苯乙烯苷 8.12 mg、大黄素 5.43 mg 于离心管中 加入 1 mL DMSO 使其完全溶解得 2×10^{-2} μmol·L⁻¹高浓度药液 μ 0.3 mL 高浓度药液加入 2.7 mL 培养液配制 2×10^{-3} μmol·L⁻¹中浓度药液 ,再取 0.75 mL 中浓度药液加入 9.25 mL 培养液制得最终浓度为 150 μmol·L⁻¹的给药浓度 0.22 μm 针头式过滤器过滤除菌 ,存于 4 ∞ 备用。

2.2 细胞实验

取对数生长期的肝 L-02 细胞 ,用 0.25% 胰蛋白酶消化 ,细胞计数后用正常培养液配成单个细胞 悬液 ,以每孔 3×10^5 个细胞的密度接种于 6 孔培养板中 ,每孔培养液体积 2 mL。将培养板移入 CO_2 培养箱中 ,在 37 $^{\circ}$ $^{\circ$

Chin Pharm J 2015 June Vol. 50 No. 12

液 ,在取得的细胞中分别加入 2 mL 的 1% Trition X-100 细胞裂解液 ,反复冻融 3 次 ,以 2 000 r • min $^{-1}$ 离心 5 min ,取上清液 ,乙腈除蛋白后 ,以 0.22 μ m 针头式过滤器过滤; 上层培养液乙腈除蛋白后 ,以 0.22 μ m 针头式过滤器过滤 ,存于 -20 % 备用。

2.3 高效液相色谱分析实验条件

流动相: 0.5% 甲酸水溶液(A)—乙腈(B)(80:20) 梯度洗脱,顺序为: 0~5 min ,30% B; 5~10 min ,65% B; 10~15 min ,85% B; 15~20 min ,90% B; 检测波长: 280 nm ,流速: 1 mL·min⁻¹ ,柱温: 30 °C ,色谱柱: Agilent ZORBAX SB-C₁₈(4.6 mm×150 mm ,5 μm)。

2.4 高效液相色谱-质谱检测实验条件

2.4.1 色谱检测条件 流动相: 0.05% 甲酸水溶液(A) -0.05% 甲酸乙腈溶液(B) (95:5) ,梯度洗脱 顺序为: $0 \sim 12$ min ,100% B; $12 \sim 15$ min ,100% B; 检测波长: 280 nm ,流速: 0.2 mL • min $^{-1}$,柱温: 30 °C ,色谱柱: Agilent C_{18} (2.1 mm × 150 mm , 1.8 μ m) 。

3 结 果

3.1 细胞形态的变化

荧光倒置相差显微镜下观察 L-02 细胞培养 48 h 后 正常组细胞贴壁伸展为单层 相邻细胞连接成片 形态舒展 折光均匀 细胞核大而明显; 二苯乙烯苷组细胞贴壁生长 与正常组相比细胞略有收缩; 大黄素组细胞贴壁生长 ,细胞收缩变小 ,变圆 ,且呈现黄色 细胞核周围出现较多空泡样结构(图2)。

3.2 二苯乙烯苷与大黄素在肝 L-02 细胞内的吸收 代谢

3.2.1 二苯乙烯苷组 HPLC 检测各时间点细胞 培养液(图3) 发现随着给药时间延长 ,TSG 原型化合物的含量有所降低 ,在 0 至 8 h 内细胞对二苯乙烯苷的吸收速率较快 ,培养液中的二苯乙烯苷含量下降比例较大(图4);与此同时 ,检测到与 TSG 吸

• 1050 • Chin Pharm J 2015 June Vol. 50 No. 12

收光谱相似的化合物 A ,其浓度随给药时间的延长而增加 ,在给药 8 至 48 h 之间增长比例较大。如图 3 所示 ,化合物 A 的保留时间比 TSG 短 极性较 TSG 大 根据药物在体内的代谢原则 ,推测化合物 A 为二苯乙烯苷的代谢产物 ,而在细胞裂解液中未能检测到 TSG 以及可能的代谢产物。结果表明 ,在药物作用前期 ,细胞对 TSG 的吸收速率较快 ,通过膜蛋白介导的物质运输途径进入细胞 ,参与生化反应 ,并多以代谢产物的形式释放出细胞 ,两者均不在细胞内蓄积。

3.2.2 大黄素组 HPLC 检测大黄素组细胞培养液(图 5) 发现 4 个具有和大黄素相似的吸收光谱的化合物 B、C、D、E ,且极性 B > C > D > E > EN; 化合物 B、C、D 的含量随给药时间的延长而增加 ,以化合物 D 最为显著(图 6)。与 TSG 组不同 ,给药后 2 h 即可在细胞裂解液中检测到大黄素原型化合物(图 6) 说明大黄素比二苯乙烯苷更易进入并蓄积在肝细胞内; 随给药时间的延长 细胞内大黄素的浓度并没有明显升高 ,推测大黄素因极性较小 较易进入肝细胞并快速代谢 ,多以代谢产物的形式释放出

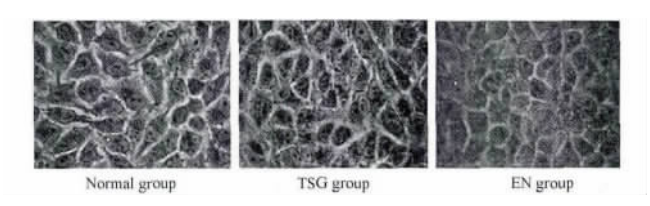


图 2 不同药物作用 L-02 细胞 48 h 后细胞形态图(10×40) **Fig. 2** Morphological pictures of L02 cells treated with different drugs for 48 h(10×40)

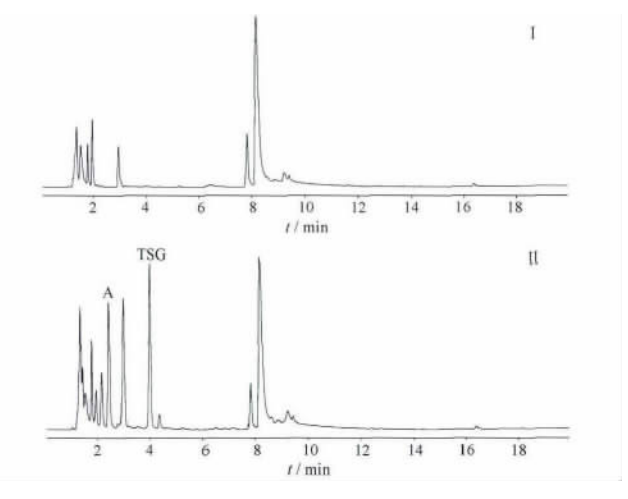


图 3 二苯乙烯苷组细胞培养液高效液相色谱图 I - 空白培养液对照; II - 二苯乙烯苷组给药 48 h 后培养液

Fig. 3 HPLC Chromatograms of TSG in cell culture media I - blank culture media; II - TSG in cell culture media after 48 h

中国药学杂志 2015 年 6 月第 50 卷第 12 期

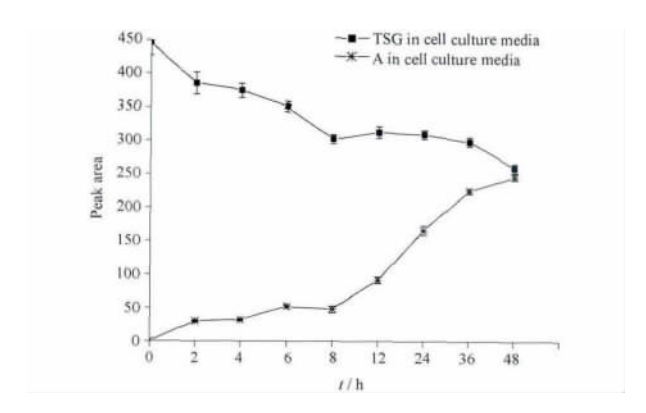


图 4 二苯乙烯苷及其代谢产物 A 在肝细胞培养液中浓度与时间关系图. n=3 $\bar{x}\pm s$

Fig. 4 Concentration-time profiles of TSG and its metabolic product A in cell culture media. n = 3 $\bar{x} \pm s$

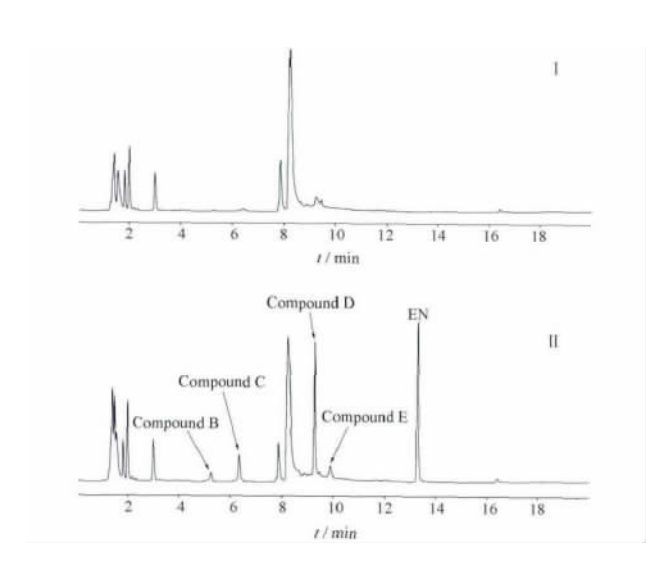


图 5 大黄素组细胞培养液高效液相色谱图 I - 空白培养液对照; II - 大黄素组给药 48 h 后培养液

Fig. 5 HPLC Chromatograms of EN in cell culture media

I - blank culture media; II - EN in cell culture media after 48 h

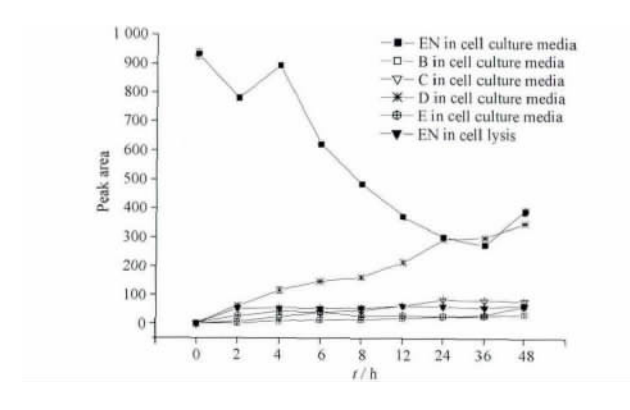


图 6 大黄素及可能的代谢产物浓度与时间关系图. n=3 $\bar{x}\pm s$

Fig. 6 Concentration-time relationships of EN and its metabolic products in cell culture media. n=3 $\bar{\kappa} \pm s$

中国药学杂志 2015 年 6 月第 50 卷第 12 期

细胞 减小在细胞内的蓄积量 ,一定程度上缓解了大黄素原型化合物对细胞的损伤。

3.3 代谢产物的 LC-MS/MS 定性分析

二苯乙烯苷组 将 TSG 对照品、给药 48 h 后 的细胞培养液 经处理后分别注入液-质联用系统中, 在负离子模式全扫描一级质谱条件下 获得了图 7 标 示中的 13 个色谱峰的准分子离子峰。排除生物样品 中常见的无关物质外 结合苷类成分可能的代谢途 径 推测 m/z 581 的色谱峰 6、7、8 为二苯乙烯苷的葡 萄糖醛酸结合产物。为进一步了解代谢产物的质谱 断裂规律 本实验采用 MS^2 离子阱技术 选择 m/z 581 为母离子进行二级质谱分析 结果发现 m/z 581 母离 子裂解成了 m/z 405 和 m/z 243 两个碎片离子峰 其 中 m/z 405 为 m/z 581 的母离子脱掉葡萄糖醛酸基 (m/z 176) 形成 m/z 243 为由 m/z 581 的母离子脱去 葡萄糖基(m/z 162)的同时,又脱去了葡萄糖醛酸基 (表3)。因此 在结果"3.2.1"中 二苯乙烯苷在肝 L-02 细胞中的代谢产物 A 即为二苯乙烯苷葡萄糖醛酸 结合产物的3个同分异构体6、7、8中的一个化合物。 3.3.2 大黄素组 将大黄素对照品、给药 48 h 后 的细胞培养液,经处理后分别注入液-质联用系统 中 在负离子模式全扫描一级质谱条件下 获得了标 示中的19个色谱峰的准分子离子峰(图8)。其中 色谱峰 11、13、14 均为 m/z 445(表3) 选择 m/z 445 为母离子进行二级质谱分析,均得到 m/z 269 碎片 离子峰 是 m/z 445 母离子脱掉葡萄糖醛酸基(m/z 176) 形成 推测色谱峰 11、13、14 为大黄素葡萄糖醛 酸的 3 个同分异构体; 对色谱峰 15(表 3) 选择 m/z350 为母离子进行二级质谱分析 得到 m/z 269 碎片 离子峰 ,是 m/z 350 母离子脱掉磺酸基(m/z 81) 形 成,推测色谱峰 15 则为大黄素硫酸结合产物。因 此 结合保留时间大小,在结果"3.2.2"中,大黄素 在肝 L-02 细胞中的代谢产物 B、C、D 分别为大黄素 葡萄糖醛酸的 3 个同分异构体 11、13、14 ,化合物 E 为大黄素硫酸结合物 15。

4 讨论

药物代谢广义包括药物吸收、分布、代谢和排泄过程 狭义是指药物的化学结构改变 即药物的生物转化 ,它是药物体内消除的主要方式之一 ,被认为是影响药物作用的最重要因素之一。研究药物代谢 ,明确代谢途径 ,确定代谢产物的活性 ,对制定合理的临床用药方案、剂型设计及新药开发都具有重要的指导意义。在分子生物学技术推动下 ,药物代谢领

Chin Pharm J 2015 June ,Vol. 50 No. 12 • 105

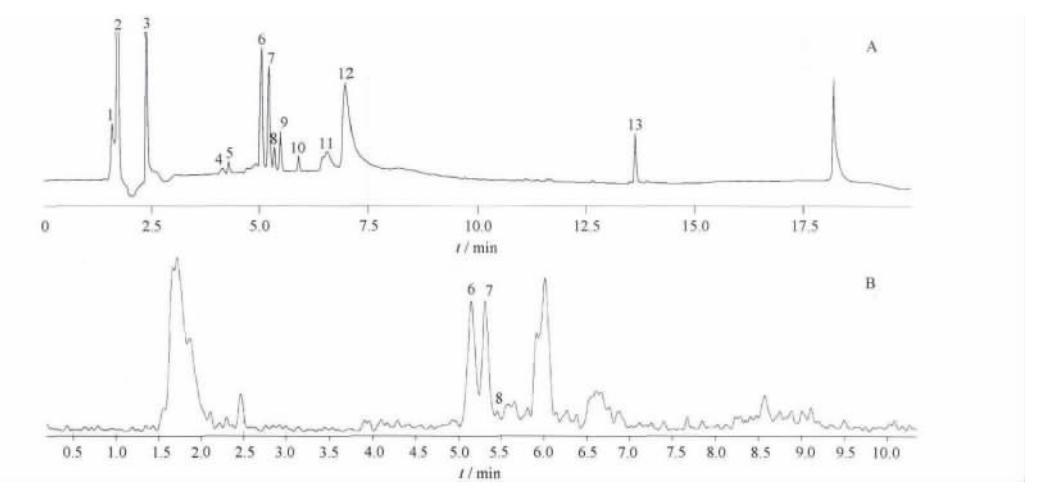


图 7 TSG 组细胞培养液样品色谱图(A) 及总离子流图(B)

1~5,12,13-内源性产物;6~8-TSG代谢产物;10-TSG原型化合物

Fig. 7 HPLC Chromatogram(A) and total ion flow chart(B) of TSG in cell culture media

1 - 5 ,12 ,13 - endogenous; 6 - 8 - metabolic products of TSG; 10 - TSG

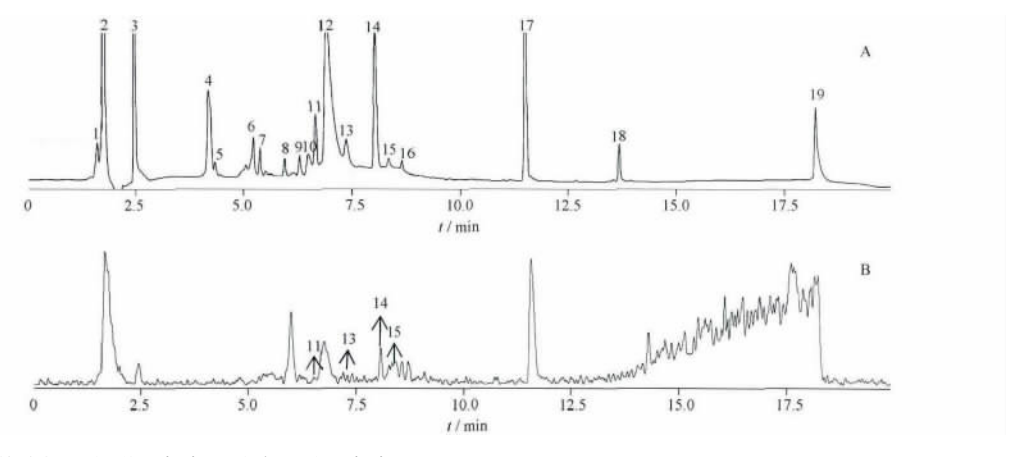


图 8 EN 细胞培养液样品色谱图(A) 及总离子流图(B)

1~79,10,18,19-内源性产物;11,13~15-EN 代谢产物;17-EN 原型化合物

Fig. 8 HPLC Chromatogram(A) and total ion flow chart(B) of EN in cell culture media

1 –7 $\,9$, 10 , 18 , 19 – endogenous products; 11 , 13 $\sim\!15$ – metabolic products of EN; 17 – EN

表 3 何首乌中二苯乙烯苷和大黄素组细胞培养液中相关吸收峰(图 7 8)的鉴定

Tab. 3 Identification of the components in cell culture media of TSG and EN peak numbers correspond to those found in Fig. 7 and Fig. 8

Group	Peak No.	MS(m/z)	$MS^2(m/z)$	Identification
TSG related peaks	6	581	405 [M - GlcUA] + ,243 [M - GlcUA - Glc] +	Glucuronidation of TSG
	7	581	$405[M-\mathrm{GlcUA}]^+$, $243[M-\mathrm{GlcUA}-\mathrm{Glc}]^+$	Glucuronidation of TSG
	8	581	$405[M-\mathrm{GlcUA}]^+$, $243[M-\mathrm{GlcUA}-\mathrm{Glc}]^+$	Glucuronidation of TSG
EN related peaks	11	445	269 [M – GlcUA] +	Glucuronidation of EN
	13	445	269[M - GlcUA] + ,181	Glucuronidation of EN
	14	445	269 [M – GlcUA] +	Glucuronidation of EN
	15	348	$269[M - SO_3H] +$	Sulfation of EN

域的研究对临床个体化给药以及药物的相互作用有着极其重要价值。

本实验中,二苯乙烯苷通过膜蛋白介导的物质

运输途径进入细胞 转化为代谢产物 代谢产物较快被转运出细胞 二者共同存在培养液中并作用于 L-02 细胞; 大黄素是脂溶性化合物 极性较小 进入细

• 1052 • Chin Pharm J 2015 June ,Vol. 50 No. 12

中国药学杂志 2015 年 6 月第 50 卷第 12 期

胞的量随时间延长而增加,进入细胞后绝大部分转 化为葡糖糖醛酸和硫酸结合物 少部分蓄积在细胞 内部。二苯乙烯苷与大黄素的代谢产物,均保留了 化合物本身的基本骨架,可能产生一种成分与其代 谢产物之间的"叠加作用"[10] 共同构成了药物发挥 药效的药理作用机制。

药物在体内的代谢通常分为两相: 第 1 相主要 是官能团化反应,包括对药物分子的氧化、还原、水 解等; 第Ⅱ相又称为结合反应 将第Ⅰ相中药物产生 的极性基团与体内的内源性成分,如葡萄糖醛酸、硫 酸、甘氨酸或谷胱甘肽 经共价键结合 生成极性大、 易溶于水和易排出体外的结合物[11]。二苯乙烯苷 和大黄素均具有多个活泼的羟基结构,较易产生 II 相代谢反应 本实验中未检测到 [相代谢产物 ,仅检 测到Ⅱ相代谢产物。二苯乙烯苷和大黄素作用于 L-02 细胞后 均产生不同异构体的葡萄糖醛酸结合 产物及硫酸结合产物,但因质谱无法确定取代基的 位置,所以精准结构还有待于进一步的光谱分析。

二苯乙烯苷作为何首乌主要活性成分,对它的 体内吸收代谢研究越来越受到重视 ,研究报道[6] 二 苯乙烯苷主要排泄途径是胆汁,胆汁中除含有少量 的原型药物外 绝大部分是以代谢物二苯乙烯苷的 C,-OH 葡萄糖醛酸结合物的形式排泄。而大黄素等 蒽醌类化合物因安全性备受关注,现代研究发 现[12-14] 葡萄糖醛酸化是单羟基和多羟基蒽醌类药 物的主要代谢方式,大黄素的药动学研究也表明,大 鼠口服给药后,大黄素主要以葡糖糖醛酸化代谢产 物的形式进入体循环。

本实验鉴于课题组前期发现二苯乙烯苷和大黄 素 对脂肪化肝细胞有较好的降脂活性 ,因此将肝 L-02 细胞作为实验对象,探究大黄素、二苯乙烯苷 在肝细胞的吸收代谢特点 结果显示 二苯乙烯苷和 大黄素作用于肝 L-02 细胞后 产生二苯乙烯苷葡萄 糖醛酸结合物 大黄素葡萄糖醛酸化产物的 3 个同 分异构体以及大黄素硫酸结合物,不仅将验证了二 苯乙烯苷和大黄素的代谢规律,还填补了二者在离 体肝细胞中代谢研究的空缺。

REFERENCES

- [1] Ch. P(2010) Vol. I(中国药典2010年版一部 [S]. 2010: 164.
- [2] WANG W J , XUE Y M , ZHAO R H , et al. Progress of chemical composition and pharmacological of Padix Polygoni Multiflori [J]. J Yunnan Coll Tradit Chin Med (云南中医学院学报), 2007, 30(3): 60-64.
- [3] KIM H K , CHOI Y H , CHOI J S , et al. A new stilbene glucoside gallate from the roots of Polygonum multiflorum [J]. Arch Pharmacal Res , 2008 , 31(10): 1225-1229.
- [4] XUYL, DONGQ, HUFZ. Simultaneous quantitative determination of eight active components in Polygonum multiflorum Thunb. by RP-HPLC[J]. J Chin Pharm Sci(中国药学: 英文 版),2009,18(4):358-361.
- [5] WANG W G, HE Y R, LIN P, et al. In vitro effects of active components of Polygonum Multiflorum Radix on enzymes involved in the lipid metabolism [J]. J Ethnopharmacol , 2014 , 153(3): 763*-*770.
- [6] BUENZ E J. Aloin induces apoptosis in Jurkat cells [J]. Toxicol in Vitro , 2008 , 22(2): 422-429.
- [7] YU J, LI N, LIN P, et al. Intestinal transportations of main chemical compositions of Polygoni Multiflori Radix in caco-2 cell model [J]. Evid Based Complement Alternat Med , 2014 ,23 (49): 2077-
- [8] LIUSY, DUANY, LIX. Recent development of metabolomics and its application in liver[J]. J Mol Diagn Ther (分子诊断与 治疗杂志),2009,1(3):197-202.
- [9] XU G Y, GE W H. Metabonomics and the progress of liver metabolomics[J]. Neimonggu Tradit Chin Med (内蒙古中医 药),2011,30(6):115-116.
- [10] XUF, YANG DH, SHANG MY, et al. Effective forms, additive effect, and toxicities scattering effect of pharmacodynamic substances of traditional Chinese medicines (TCMs) -some reflections evoked by the study on TCM metabolic disposition [J]. World Sci Technol Mod Tradit Chin Med(世界科学技术—中医 药现代化),2014,16(4):688-703.
- [11] YANG X W , HAO M R. Metabolite Analysis for Chemical Constituents of Traditional Chinese Medicines(中国成分代谢分析) [M]. Beijing: China Medical Science and Technology Publishing House , 2003: 95-96.
- [12] LIU W, WANG YF, LIU ZQ. Glucuronidation of emodin in human liver and intestinal microsomes [J]. Chin J Pathophysiol(中 国病理生理杂志),2012,28(9):1681-1685.
- [13] SHIA C S , JUANG S H , TSAI S Y , et al. Metabolism and pharmacokinetics of anthraquinones in rheum palmatum in rats and ex vivo antioxidant activity [J]. Planta Med , 2009 , 75 (13): 1386-
- [14] SHIA C S , HOU Y C , TSAI S Y , et al. Differences in pharmacokinetics and ex vivo antioxidant activity following intravenous and oral administrations of emodin to rats [J]. J Pharm Sci, 2010 ,99(4): 2185-2195.

(收稿日期: 2014-12-08)